

МИКРОСЕГМЕНТЫ КАК ОСНОВНЫЕ ЭЛЕМЕНТЫ ПЕРВИЧНОЙ СЕГМЕНТАЦИИ РЕЧЕВЫХ СИГНАЛОВ

В.Г. РУДАКОВ

ВЫЧИСЛИТЕЛЬНЫЙ ЦЕНТР
АН СССР, МОСКВА

В докладе рассматривается возможность использования для целей первичной сегментации речевых сигналов микросегментов, определяемых в виде совокупности локальных длительностей. И микросегменты и локальные длительности определяются непосредственно из анализа формы речевой волны во временной области. Использование микросегментов позволяет примерно в 2 раза сократить исходную длительность сигнала для последующего анализа на фонемном уровне, а также указать некоторые параметры фонем.

Известно /1,2/, что вся информация о речевом сигнале содержится в его временной функции $P(t)$, отражающей зависимость звукового давления P на некотором расстоянии от говорящего. Успешному решению ряда проблем анализа речевых сигналов способствует правильное проведение процесса их сегментации /3/. С точки зрения достижения максимальной информативности результатов анализа сегментация должна осуществляться аддитивным способом к последовательным во времени звуковым явлениям /4/. Для первичной сегментации речевого сигнала представляют в виде последовательности вокализованных и невокализованных сегментов /1/. В /3/ в качестве основных элементов первичной сегментации речевого сигнала предложены микрофонемы - участки сигнала на протяжении периода основного тона. Преимуществом такого способа является то, что микрофонемы не связаны со строго постоянным интервалом в 10...20 мс, а также большая уместность микрофонемных и фонемных характеристик, относящихся к одному и тому же диктору и классу звуков речи. Недостатком описываемого способа сегментации является использование для анализа сигнала быстрого преобразования Фурье, обусловленного допущением о квазипериодичности и стационарности сигнала на всём протяжении T_0 . Такое допущение к речевому сигналу не совсем справедливо /4/. В /4/ речевой сигнал предложено представлять в виде сложной кривой, а для её анализа - метод разложения сложных кривых на компоненты. Этот метод справедлив для анализа как вокализованных, так и невокализованных сегментов, но он, как и спектральный метод, не предпо-

лагает непосредственного анализа формы речевой волны.

Для выявления некоторых параметров, характеризующих форму речевой волны рассмотрим на рис. 1 фрагмент осциллограммы преобразованного в электрический сигнал $U(t)$ изменения звукового давления $P(t)$ на интервале $[t_0, t_n]$.

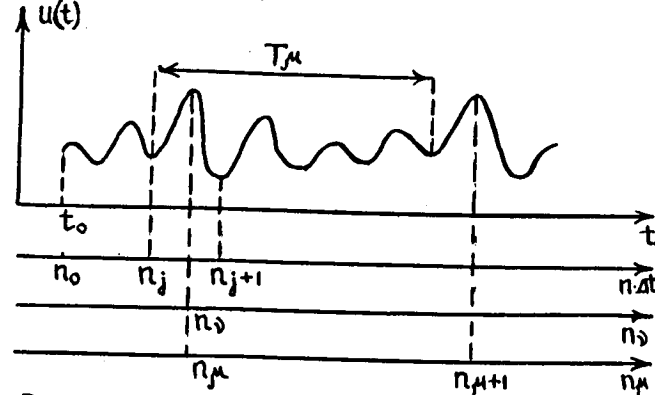


Рис. 1. Фрагмент осциллограммы преобразованного в электрический сигнал $U(t)$ речевого сигнала $P(t)$.

Произведем замену непрерывного времени t на дискретное $n \cdot \Delta t$. Принимая $\Delta t = \text{const}$, получим зависимость $U(n)$, аргументом которой является номер дискреты $n \in [n_j, n_m]$.

Очевидный колебательный характер функции $U(n)$ можно описать с помощью следующих параметров. На первом уровне описания используется временные интервалы между локальными экстремумами. В номере дискреты n имеет место локальный минимум, если выполнено условие

$$[U(n-1) > U(n)] \wedge [U(n) < U(n+1)], \\ U(i) > 0, i = n-1, n, n+1. \quad (I)$$

Для обозначения номеров дискрет, в которых выполняется условие (I) введём индекс j . Смежные локальные минимумы $U(n_j)$ и $U(n_{j+1})$ определяют j -е длительности

$$\bar{T}_j = (n_{j+1} - n_j) \cdot \Delta t = \Delta n_j \cdot \Delta t \quad (2)$$

Локальные максимумы определяются в пределах изменения \bar{T}_j при выполнении условия $[U(n-1) < U(n)] \wedge [U(n) > U(n+1)]$,

$$U(i) > 0, i = n-1, n, n+1. \quad (3)$$

Номера дискрет, удовлетворяющие условию (3) обозначим с помощью индекса j , тогда локальные максимумы будут иметь обозначение $U^{(j)}(n_j)$, где индекс j указывает на их принадлежность к соответствующей \bar{T}_j . Длительности \bar{T}_j находятся аналогично выражению (2). Поскольку длительности \bar{T}_j и \bar{T}_k определяются соответственно смежными минимумами и максимумами с перекрытием $0,5 \bar{T}_j$ ($0,5 \bar{T}_k$), то их наложение может быть использовано как для исключения помех, так и для выявления дополнительных сведений о тонкой структуре сигнала.

Таким образом на первом уровне анализа речевой сигнал представляется последовательностью чисел, характеризующих локальные экстремумы $U(n_j)$, $n_j \in [n_j, n_m]$ и длительности \bar{T}_j и \bar{T}_k .

На втором уровне анализа производится выделение значимых экстремумов из локальных. С целью наибольшего учёта динамики функции $P(t)$ необходимо использовать такие однотипные экстремумы, дисперсия которых наибольшая. Проведенный анализ показал, что этому условию удовлетворяют локальные максимумы, поскольку их дисперсия примерно в 4 раза превышает дисперсию минимумов. Значимый максимум определяется из анализа условия

$$[U^{(j-1)}(n_{j-1}) < U^{(j)}(n_j)] \wedge [U^{(j)}(n_j) > U^{(j+1)}(n_{j+1})]. \quad (4)$$

Введём индекс m для переопределения таких номеров дискрет n_j , для которых условие (4) выполняется. Очевидно, что значимый максимум $U^{(j)}(n_m)$ всегда совпадает с соответствующим локальным максимумом $U^{(j)}(n_j)$.

Это позволяет указать временной интервал между смежными значениями максимумов $U^{(j)}(n_m)$ и $U^{(j+1)}(n_{m+1})$, где K - количество локальных максимумов между номерами дискрет n_m и n_{m+1} . Обозначим его через T_M и определим с помощью выражения

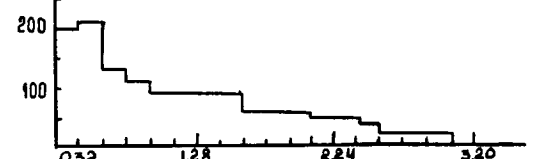
$$T_M = (n_{m+1} - n_m) \cdot \Delta t = \sum_{j=1}^{K+1} \bar{T}_j. \quad (5)$$

Введём рабочую гипотезу о том, что форма речевой волны в первом приближении может быть охарактеризована параметрами $U(n)$, $U^{(j)}(n_j)$, \bar{T}_j , T_M на интервале T_M , $n_j \in [n_j, n_{j+K}]$, $K \in [n_m, n_{m+1}]$.

Для экспериментальной проверки возможности описания формы речевой волны с помощью введенных параметров был использован словарь из 27 слов: ноль, нуль, один, два, три, четыре, пять, шесть, семь, восемь, девять, действие, сложить, вычесть, умножить, величина, точка, цифра, синус, косинус, тангенс, котангенс, слушай, начало, конец, число, целое. Этот словарь по-словно 2-мя мужчинами и женщиной разговорным стилем в помещении машинного зала с уровнем шумов

65 дБ по телефонному каналу с полосой частот 3, 125 кГц, передавался на вход 10-разрядного преобразователя аналог-цифра. В соответствии с указанной полосой частота дискретизации принята 6,25 кГц, что соответствует $\Delta t = 160$ мкс.

По результатам обработки 81 слова из указанного словаря на рис. 2 приведены гистограммы для значений длительности \bar{T}_j и T_M .



Локальные длительности \bar{T}_j , мс

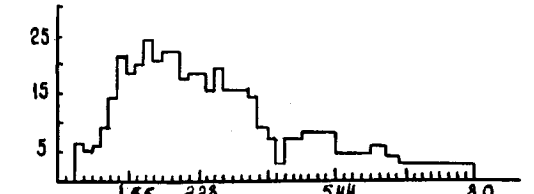


Рис. 2. Гистограммы длительности \bar{T}_j и T_M . Данные получены в результате обработки 81 слова, произнесенных 3-мя дикторами по 27 слов каждым.

Анализ приведенных гистограмм показывает, что локальные длительности \bar{T}_j занимают диапазон от 320 мкс до 3 мс с максимумом в районе 320 мкс, что соответствует частоте 3,125 кГц, то есть верхнему значению спектра сигнала. Диапазон значений T_M находится в пределах от 640 мкс до 8 мс с максимумом на $T_M = 2$ мс или 500 Гц. Поскольку эти области существенно перекрываются, то они могут быть использованы в ограниченных целях, например, для определения высоты голоса по положению максимума гистограммы длительности T_M для одного диктора.

Анализ чередований T_M на протяжении отдельных слов показал, что они обладают определёнными регулярностями. В первом приближении эти регулярности могут быть описаны с помощью семи правил (П1...П7), которые удовлетворяют следующим выражениям:

$$\text{П1}, |T_M - T_{M+1}| \leq 160 \text{ мкс} \quad (6)$$

$$\text{П2}, |(T_M + T_{M+1}) - (T_{M+2} + T_{M+3})| \leq 160 \text{ мкс} \quad (7)$$

$$\text{П3}, |(T_M + T_{M+2}) - (T_{M+1} + T_{M+3})| \leq 160 \text{ мкс} \quad (8)$$

$$\text{П4}, |T_M - (T_{M+1} + T_{M+2})| \leq 160 \text{ мкс} \quad (9)$$

$$\text{П5}, |(T_M + T_{M+1}) - T_{M+2}| \leq 160 \text{ мкс} \quad (10)$$

$$\text{П6}, |(T_M + T_{M+2}) - T_{M+1}| \leq 160 \text{ мкс} \quad (11)$$

$$\text{П7}, |(T_M + T_{M+1} + T_{M+2}) - (T_{M+3} + T_{M+4} + T_{M+5})| \leq 160 \text{ мкс} \quad (12)$$

≤ 160 мкс

где 160 мкс = Δt .

Длительности T_m , удовлетворяющие в своей последовательности соответствующему правилу, объединяются в группы. В речевых сигналах на этом этапе наблюдаются чередования как одинаковых, так и разных групп, которые образуют макрогруппы. Между макрогруппами, а иногда и между группами, встречаются длительности, которые не удовлетворяют приведенным в выражениях (6)...(12) правилам объединений. Эти длительности не используются для анализа на них распределений $T_j(v)$. Они могут быть учтены лишь при решении вопроса о наличии либо паузы, либо помехи в слове.

Для иллюстрации отмеченных этапов анализа чередования длительностей T_m на рис. 3 приведена гистограмма объединения T_m в группы в соответствии с правилами П1,...,П7 в слове "число".

Правила объединения T_m в группы в соответствии с правилами П1,...,П7 в слове "число" соответствует определенное число групп.

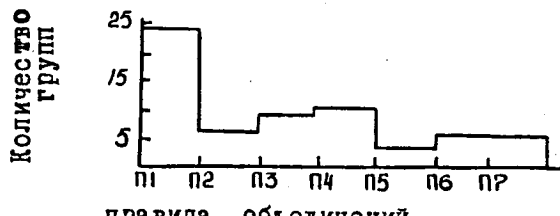


Рис. 3. Гистограмма объединений длительностей в группы с использованием правил П1,...,П7 в слове "число".

Анализ гистограмм слов приведенного выше словаря показал, что для целей сегментации следует выбирать либо такие группы, у которых количество T_m не менее 7, либо макрогруппы с числом однотипных групп не менее 4 и количеством T_m в них более 4. Существующую в слове "число" последовательность обозначим в виде следующих групп: П7.1; П7.2; П1.3; П7.4; П7.5; П7.6; П2.7; П2.8; П7.9, где вторая цифра после номера правила объединения обозначает порядок следования групп.

Анализ этих последовательностей показал, что группы П1.3, П2.7 и П2.8 соответствуют вокализованным сегментам, так как у них нет дробления длительностей T_m . В группе П1.3 они находятся в диапазоне от 1,32 до 2,4 мс, в группе П2.7 - от 2,72 до 3,52 мс, в группе П2.8 - от 2,88 до 3,52 мс. Второй характеристикой этих сегментов является распределение $T_j(v)$. В группе П1.3 длительности $T_j(v)$ в основном находятся в области от 0,32 до 0,96 мс, в П2.7 - от 1,12 мс до 2,56 мс, а в П2.8 - от 1,44 до 2,08 мс. Распределения

T_m и $T_j(v)$ на них в остальных группах характеризуют негокализованные сегменты. Ориентировочно приведенные группы могут быть соотнесены с фонемами: П7.1, П7.3 - "Ч"; П1.3 - "И"; П7.4, П7.5 - "С"; П7.6 -

"Л"; П2.7, П2.8 - "О". Следовательно, по распределениям такого типа можно приблизительно производить сегментацию речевых сигналов на вокализованные и негокализованные участки, а также выносить определенные суждения о фонемных характеристиках выделенных сегментов.

В заключение рассмотрим таблицу: в таблицу сведены соотношения длительностей приведенных групп с длительностью слова.

Из таблицы следует, что общая длительность слова "число" составляет 623,6 мс, а длительность групп - 181 мс, что соответствует 29% от длительности слова. Кроме того, длительности групп: П7.1, П7.2, П7.4, П7.5, П7.6 и П7.9 в среднем совпадают с общепринятым окном анализа в 10...20 мс.

Таблица. Представление длительности слова "число" через длительности групп и интервалов между ними

| Группы | Длительность, мс | | | | | | | | |
|--------------------------|------------------|------|------|------|------|------|------|------|------|
| | П7.1 | П7.2 | П1.3 | П2.4 | П2.5 | П7.6 | П2.7 | П2.8 | П7.9 |
| Длительности групп | 12,9 | 8,3 | 28 | 15,8 | 18 | 16,6 | 42,8 | 32,8 | 13,9 |
| Интервалы между группами | 70 | 43,6 | 69,1 | 43,3 | 0 | 42,5 | 0 | 166 | |

Всё это позволяет сделать вывод о целесообразности использования в качестве основных элементов первичной сегментации речевые сигналы с длительностями T_m , которые предлагается называть микросегментами.

ЛИТЕРАТУРА:

- Фант Г. Акустическая теория речеобразования. Пер. с англ. под ред. В.С. Григорьева. - М.: "Наука", 1964, 283 с.
- Линдсей П., Норман Д. Переработка информации у человека. Пер. с англ. под ред. А.Р. Лурия. - М.: "Мир", 1974, 550 с.
- Джерниковский А. Микрофонемы как основные сегменты первичной сегментации речевого сигнала. - Автоматическое обнаружение микрофонем. В Трудах IV Международной объединенной конференции по искусственно-му интеллекту. Тбилиси, 1975, том 5, с.68-82.
- Соломатин В.Ф. Метод разложения сложных кривых на компоненты. Деп. ВИНИТИ, № 4967-81, - М.; 1981, 15 с.